

# Statyczny test Osterberga zastosowany dla pali o dużej nośności

**Prof. dr hab. inż. Zygmunt Meyer**

Zachodniopomorski Uniwersytet Technologiczny w Szczecinie, Katedra Geotechniki

**Dr inż. Mariusz Kowalów**

Geotechnical Consulting Office, Sp. z o.o. Szczecin

Badanie współpracy pala z gruntem w warunkach naturalnych zawsze było wymogiem stawianym przez projektantów. Podyktowane to jest faktem, że wykonujemy pale o coraz większej nośności nawet dziesiątek meganewtonów i w związku z tym pale mają coraz większe wymiary (średnice i długości), często na gruntach o bardzo złożonej strukturze. Drugą przesłanką, dla której projektanci żądają testów w terenie to wznoszenie obiektów coraz wyższych, 200 m i więcej. Odporność tych obiektów na obciążenia dynamiczne (wiatr, drgania podłoża) wymaga znajomości współpracy pala z gruntem w warunkach naturalnych. Dla pali o dużej nośności statyczne testy przez obciążanie w głowicy są trudne do zrealizowania zgodnie z normami (1) oraz (2).

Metodą badań „in situ” są między innymi testy wykorzystujące falę naprężeń w palu generowaną w głowicy [1] oraz testy Osterberga [4].

W niniejszym opracowaniu przedstawiono podstawy teoretyczne testu Osterberga w warunkach, kiedy komora ciśnieniowa znajduje się powyżej podstawy pala. Test Osterberga polega na wykonaniu w terenie, w miejscu przyszłej budowy, pala próbnego (żelbetowego). Najprostszym przypadkiem jest pal, który w podstawie posiada zamontowaną komorę ciśnieniową. Zwiększenie ciśnienia w komorze powoduje jej rozpieranie i nacisk na pal w kierunku do góry oraz nacisk na podstawę.

Zależności, które pozwalają przeliczyć mierzone w trakcie testu wielkości: siłę w komorze oraz przemieszczenia pala w górę i w dół na typowy wykres: obciążenie pionowe na głowicę – osiadanie, przedstawiono w poprzedniej pracy [5]. Umieszczenie komory ciśnieniowej w podstawie jest celowe dla pali, w których nośność podstawy jest porównywalna z nośnością pobocznic. Jeżeli nośność pobocznic jest o wiele większa od nośności podstawy pala wówczas umieszczamy komorę powyżej podstawy, ale poniżej połowy długości pala po to, aby skompensować część tarcia o pobocznice. W takiej sytuacji możemy uzyskać mniejszy nacisk na podstawę pala i w związku z tym możemy dokładniej tę wartość określić. Celem niniejszej pracy jest wyprowadzenie wzorów, które na podstawie testów pozwalają ustalić podstawową dla celów inżynierskich zależność obciążenie pala w głowicy siłą pionową – osiadanie.

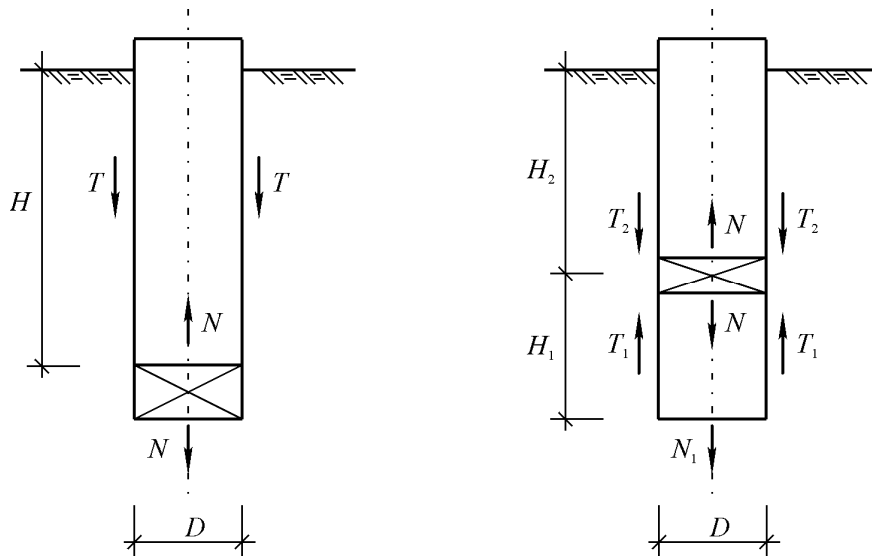
## OPIS MATEMATYCZNY ZJAWISKA

Do opisu matematycznego zjawiska zastosowano wzory z liniowej teorii sprężystości w szczególności rozwiązanie Boussinesq'a [2]. Oznacza to, że uzyskane rozwiązanie obowiązuje jedynie w obszarze, gdzie z badań terenowych uzyskujemy liniową zależność obciążenie-osiadanie. Praktyczne badania testowe wskazują, że w zakresie dopuszczalnych obciążeń pala, które są kilkakrotnie mniejsze od granicznych, uzyskane wyniki mogą mieć zastosowanie. Autorzy opracowania mają świadomość, iż obciążenie w testach statycznych może wykraczać poza obszar liniowych zależności. Obszar zmian nieliniowych nie jest przedmiotem analizy w niniejszym opracowaniu. Podejmując zagadnienie Autorzy chcieli wskazać na mechanizmy, które tworzą relację obciążenie-osiadanie, a tym samym umożliwić

analityczne obliczenie tych relacji np. dla pali o mniejszej średnicy bez potrzeby ponownego wykonywania testów w terenie.

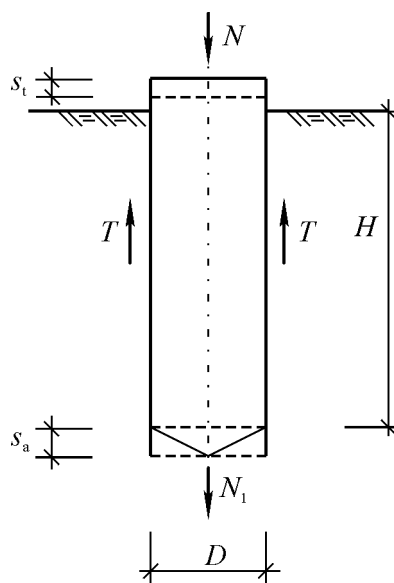
Test Osterberga pozwala na przekroczenie tego liniowego zakresu, aż do osiągnięcia oporu granicznego. Ten obszar zwykle aproksymuje się krzywymi hiperbolicznymi i nie jest to przedmiotem niniejszego opracowania.

Schematycznie usytuowanie pala w gruncie oraz położenie komory ciśnieniowej pokazano na rys. 1



Rys. 1. Schemat pala przygotowanego do testu Osterberga przy dwóch różnych położeniach komory ciśnieniowej

Do wyprowadzenia zależności opisujących zmiany nacisków w komorze – przemieszczenie pala wykorzystano opis pracy pala obciążonego w głowicy w gruncie jednorodnym, przy zastosowaniu rozwiązania Bousinessq'a (rys. 2).



Rys. 2. Schemat pala umieszczonego w gruncie

Podstawowe wzory, które otrzymamy dla pała obciążonego w głowicy w gruncie jednorodnym mają postać:

$$S_t = \alpha_t \frac{6(1+\nu)}{\pi} \cdot \frac{T}{H \cdot E} \quad \text{oraz} \quad (1)$$

$$S_q = \alpha_q \frac{N_1}{\pi E D} \quad (2)$$

We wzorach tych:  $S_t$  - oznacza przemieszczenie wywołane tarcie o pobocznice;  $S_q$  - oznacza przemieszczenie podstawy pała,  $H$  - długość pała;  $D$  - średnica pała;  $\nu$  - współczynnik Poissona;  $E$  - moduł ściśliwości gruntu (stała materiałowa moduł Younga). Współczynniki  $\alpha_t$  oraz  $\alpha_q$  - są współczynnikami ustalonymi empirycznie podczas testów i uwzględniają warunki faktycznej współpracy powierzchni pała z gruntem. Współczynniki te zmieniają się w zakresie

$$0 < \alpha_t, \alpha_q < 1 \quad (3)$$

Jeżeli podstawimy

$$\kappa = \frac{\alpha_q}{6 \cdot \alpha_t (1+\nu)} = const \quad (4)$$

to otrzymamy

$$N_1 = \frac{N}{1 + \kappa \cdot \frac{H}{D}} \quad \text{oraz} \quad (5)$$

$$T = N - N_1 = N \frac{\kappa \frac{H}{D}}{1 + \kappa \cdot \frac{H}{D}} \quad (6)$$

We wzorach tych zgodnie z rys. 1 wprowadzono następujące oznaczenia:  $N$  - nacisk w głowicy pała,  $N_1$  - nacisk na podstawę pała,  $T$  - opór pobocznic. W praktycznych testach parametr  $\kappa$  zmienia się w granicach

$$0.06 < \kappa < 0.6 \quad (7)$$

Jeżeli przyjąć  $\kappa = 0.2$  oraz  $H/D = 40$ , to otrzymamy  $N_1 = 0.10N$ , natomiast  $T = 0.9N$ . Oznacza to, że w takim przypadku pobocznica przejmuje aż 90% obciążenia w głowicy.

### **PRZYPADEK PODSTAWOWY, KIEDY KOMORA CIŚNIENIOWA UŁOKOWANA JEST W PODSTAWIE PAŁA**

Jeżeli komora ciśnieniowa w teście Osterberga położona jest w podstawie pała (rys. 1) to w wyniku pomiarów otrzymamy dwie krzywe

$$S_t = C_t \cdot N_{kom} \quad \text{oraz} \quad S_q = C_q \cdot N_{kom} \quad (8)$$

Pomiary w teście Osterberga wskazują, że

$$S_t \neq S_q.$$

ponieważ jedno i drugie przemieszczenie powodowane jest przez siłę  $N_{kom}$  w komorze. Jeżeli znamy tarcie o pobocznicy  $T$  (np. dla pala wciskanego) oraz opór ostrza  $N_1$ , to wtedy przez analogię dla ustalonych eksperymentalnie  $C_t$  oraz  $C_q$  możemy napisać

$$S_t = C_t \cdot T \quad \text{oraz} \quad S_q = C_q \cdot N_1 \quad (9)$$

Ale wówczas mamy równość przemieszczeń pobocznicy i podstawy pala

$$S_t = S_q \quad (10)$$

To daje nam zależność, która różnicuje opór podstawy i pobocznicy

$$\frac{T}{N_1} = \frac{C_q}{C_t} \quad (11)$$

odpowiednio, ponieważ  $N_1 + T = N$ , gdzie  $N$  jest naciskiem w głowicy otrzymamy

$$N_1 = \frac{N}{1 + \frac{C_q}{C_t}} \quad \text{oraz} \quad T = N \frac{\frac{C_q}{C_t}}{1 + \frac{C_q}{C_t}} \quad (12)$$

następnie porównując zależności od (1) do (12) możemy napisać

$$\left. \begin{aligned} \kappa &= \frac{C_q}{C_t} \cdot \frac{D}{H} \\ \alpha_q &= C_q \cdot \pi DE \\ \alpha_t &= C_t \cdot \frac{\pi HE}{6 \cdot (1 + \nu)} \end{aligned} \right\} \text{ oraz} \quad (13)$$

Podobnie, jeżeli z tekstu Osterberga znamy  $C_t$  oraz  $C_q$ , to wypadkowy związek obciążenie w głowicy – osiadanie pala otrzymamy w postaci:

$$S = N \cdot \frac{C_q \cdot C_t}{C_q + C_t} \quad (14)$$

Powyższe wzory stanowią teoretyczną podstawę do obliczenia relacji obciążenie-osiadanie pala w obszarze liniowych zmian, dla których przeprowadzono test Osterberga. Jeżeli w wyniku obliczeń otrzymamy osiadanie za duże lub za małe, to możemy zmniejszyć długość pala lub zwiększyć jego średnicę. Wówczas zachowując parametr  $\kappa$  ze wzoru (13) nową nośność pobocznicy i podstawy otrzymamy ze wzorów (5) i (6).

Rozważmy sytuację, kiedy pał w badaniach terenowych Osterberga miał średnicę  $D_0$  oraz długość  $H_0$ , natomiast zmieniamy w projektowaniu wymiary pała na  $D_1$  oraz  $H_1$ . Odpowiednie zależności przyjmą postać:

$$\kappa = \frac{C_q}{C_t} \cdot \frac{D_0}{H_0} \quad (15)$$

$$N_1 = \frac{N}{1 + \frac{C_q}{C_t} \cdot \frac{D_0}{D_1} \cdot \frac{H_1}{H_0}} \quad ; \quad T = N \frac{\frac{C_q}{C_t} \cdot \frac{D_0}{D_1} \cdot \frac{H_1}{H_0}}{1 + \frac{C_q}{C_t} \cdot \frac{D_0}{D_1} \cdot \frac{H_1}{H_0}} \quad (16)$$

a następnie osiadanie

$$S = N \cdot C_q \cdot \frac{1}{1 + \frac{C_q}{C_t} \cdot \frac{D_0}{D_1} \cdot \frac{H_1}{H_0}} \quad (17)$$

Wzory (15); (16); (17) pozwalają na podstawie testu Osterberga dla pała o wymiarach  $H_0$ ;  $D_0$ , kiedy zmiany  $C_q$  oraz  $C_t$  przeliczyć nośności na pobocznicę i podstawy dla pała o nowych wymiarach  $H_1$   $D_1$ . Przykładowo w tablicy 1. pokazano, jak zmienna długość pała wpływa na zmianę nośności i osiadania.

**Tabl. 1. Wpływ zmiany długości pała na nośność i osiadanie**

$H_1 / H_0$	0.4	0.6	0.8	1.0	1.2	1.4	1.6
$S_1 / S_0$	1.80	1.40	1.20	1.0	0.87	0.77	0.67
$T / N$	0.52	0.62	0.68	0.73	0.77	0.79	0.81
$N_1 / N$	0.48	0.38	0.32	0.27	0.23	0.21	0.19

W tablicy 1  $S_0$  - oznacza osiadanie obliczone dla pała testowego, natomiast  $S_1$  - osiadanie dla pała o zmienionych wymiarach.

### **PRZYPADEK, KIEDY KOMORA CIŚNIENIOWA UŁOKOWANA JEST POWYŻEJ PODSTAWY PAŁA**

Dla testów Osterberga w pałach, gdzie komorę ciśnieniową umieszczono powyżej podstawy pała, można również określić zależności pomiędzy elementami mierzonymi  $C_q^*$ ,  $C_t^*$  oraz osiadaniem i rozdziałem nośności na pobocznicę i podstawę. Dla odróżnienia od poprzedniego przypadku wprowadzono tutaj oznaczenia z gwiazdką. Ponadto mamy tu do czynienia z przemieszczeniem części górnej pała (gruntu)  $S_{t2}$  pod wpływem siły tarcia  $T_2$  oraz przemieszczeniem części dolnej pała  $S_{t1}$  pod wpływem siły tarcia  $T_1$ , oraz nacisku na podstawę  $N_1$ , który wywołuje przemieszczenie  $S_q$ .

Z testu Osterberga otrzymujemy liniowe związki:

$$S_{t2} = C_t^* \cdot N_{kom} \quad \text{oraz} \quad S_q = C_q^* \cdot N_{kom} \quad (18)$$

gdzie  $-N_{kom}$  jest siłą generowaną w komorze ciśnieniowej. Na podstawie obliczeń w poprzednim rozdziale mamy

$$S_{t2} = \frac{6 \cdot (1 + \nu) \cdot T_2 \cdot \alpha_t}{\pi H_2 E} \quad \text{oraz} \quad S_{t1} = \frac{6 \cdot (1 + \nu) \cdot T_1 \cdot \alpha_t}{\pi H_1 E} \quad \text{ponadto}$$

$$S_q = \frac{N_1}{\pi D E} \cdot \alpha_q \quad (19)$$

Z równowagi sił pionowych otrzymamy

$$N_1 = T_2 - T_1 \quad (20)$$

Na podstawie zależności (21) możemy napisać

$$S_{t2} = S_{t1} \cdot \frac{T_2}{T_1} \cdot \frac{H_1}{H_2} \quad \text{oraz} \quad (21)$$

$$C_t^* = \frac{6(1 + \nu)}{\pi} \cdot \frac{\alpha_t}{E \cdot H_2} \quad (22)$$

Dla dolnej części pała możemy napisać tak jak w poprzednim rozdziale

$$\frac{T_1}{N_1} = \kappa \frac{H}{D} \quad \text{oraz} \quad S_q = C_q \cdot N_1 \quad \text{wtedy} \quad (23)$$

podobnie jak poprzednio, wzór (4,5), otrzymamy

$$N_1 = N \frac{1}{\frac{H}{D} \kappa + 1}$$

Występująca we wzorze (23) wielkość  $C_q$  - nie jest tą mierzoną w teście Osterberga wielkością  $C_q^*$ . Trzeba ją dodatkowo obliczyć. Porównując przemieszczenia podstawy pała, mamy

$$S_q = C_q^* \cdot N_{kom} = C_q \cdot N_1 \quad \text{co, ze wzoru (23) daje}$$

$$C_q = C_q^* \left( 1 + \kappa \frac{H_1}{D} \right) \quad (24)$$

Porównując osiadanie podstawy pała i poboczniczy, tak jak w poprzednim rozdziale otrzymamy

$$S_{t1} = S_q$$

stąd

$$C_q^*(T_2 - T_1) \cdot \left(1 + \kappa \frac{H_1}{D}\right) = S_{t1} = S_{t2} \frac{T_1}{T_2} \cdot \frac{H_2}{H_1} \quad (25)$$

W teście Osterberga mamy -  $T_2 = N_{kom}$  oraz  $S_{t2} = C_t^* \cdot N_{kom}$

stąd

$$C_q^* \left( \kappa \frac{H_1}{D} + 1 \right) \cdot (N_{kom} - T_1) = C_t^* \cdot T_1 \cdot \frac{H_2}{H_1} \quad (26)$$

ponadto na podstawie wzoru (23) mamy

$$\frac{T_1}{N_1} = \frac{T_1}{N_{kom} - T_1} = \frac{C_q^*}{C_t^*} \cdot \frac{H_1}{H_2} \left(1 + \kappa \frac{H_1}{D}\right) = \kappa \frac{H_1}{D} \quad \text{a stąd}$$

$$\frac{H_1}{D} \kappa = \frac{\frac{C_q^*}{C_t^*} \cdot \frac{H_1}{H_2}}{1 - \frac{C_q^*}{C_t^*} \cdot \frac{H_1}{H_2}} \quad (27)$$

następnie na podstawie zależności (26) otrzymamy dla dolnej części pała w teście Osterberga poniższe wzory:

$$T_1 = N_{kom} \cdot \frac{C_q^*}{C_t^*} \cdot \frac{H_1}{H_2} \quad \text{oraz} \quad (28)$$

$$N_1 = N_{kom} \left[ 1 - \frac{C_q^*}{C_t^*} \cdot \frac{H_1}{H_2} \right] \quad (29)$$

W ten sposób uzyskano wzory, które w teście Osterberga opisują rozdział nośności w dolnej części pała na nośność poboczniczy i podstawy. Ostatnim etapem jest przeliczenie nośności dolnej części pała o długości  $H_1$ , na nośność pała o długości  $H_1 + H_2$ .

Jeżeli założymy grunt jednorodny to wówczas  $\kappa = const$ . Wtedy otrzymamy dla pała o łącznej długości obciążonego w głowicy siłę  $N$

$$N_1 = N \frac{1}{1 + \kappa \frac{H_1 + H_2}{D}} \quad ; \quad T = N \frac{\kappa \frac{H_1 + H_2}{D}}{1 + \kappa \frac{H_1 + H_2}{D}} \quad (30)$$

Odpowiednio osiadanie w tym przypadku obliczymy ze wzoru

$$S_q = C_q \cdot N_1 = C_q^* \left(1 + \kappa \frac{H_1}{D}\right) \cdot \frac{N}{1 + \kappa \frac{H_1 + H_2}{D}} \quad (31)$$

## PRZYKŁAD OBLICZENIOWY

W poprzednim rozdziale w tablicy 1 przedstawiono przykładowo, jak zmiana długości pała wpływa na zmianę osiadania. Wynik obliczeń można przedstawić w postaci relacji  $S_1/S_0$ . Jeżeli przez  $S_0$  oznaczymy osiadanie pała o wymiarach  $D_0, H_0$ , który był obiektem testu Osterberga to dla pała o zmienionych wymiarach  $D_1, H_1$  osiadanie to wynosi  $S_1$ , wtedy otrzymamy:

$$\frac{S_1}{S_0} = \frac{D_0}{D_1} \cdot \frac{1 + \frac{C_q}{C_t}}{1 + \frac{C_q}{C_t} \cdot \frac{D_0}{D_1} \cdot \frac{H_1}{H_0}} \quad (32)$$

Do obliczeń tam przeprowadzonych przyjęto:  $\alpha_q = 0.4$ ;  $\alpha_t = 0.8$ ;  $\nu = 0.25$ ;  $E = 40\text{MPa}$ . Dla pała testowego przyjęto:  $D = 1.0\text{m}$ ;  $H = 40\text{m}$ . Jeżeli po wykonaniu obliczeń otrzymamy  $C_q = 3.18\text{mm}/\text{MN}$  oraz  $\alpha = 1/15$  w obliczeniach przyjmujemy  $D_1 = D_0$ .

W celu zilustrowania obliczeń dla pała, który został podzielony komorą ciśnieniową przyjęto podział  $H_1 = 16\text{m}$ ,  $H_2 = 24\text{m}$ ;  $H_1 + H_2 = 40\text{m}$  tak jak poprzednio. W obliczeniach zmienia się parametr  $\kappa$  ponieważ odnosi się on do innych warunków pracy pała. Parametry  $C_t^*$  oraz  $C_q^*$ , które zarejestrowaliśmy w czasie testów musimy obliczyć ze wzorów. Ze wzoru (22) mamy

$$C_t^* = \frac{6 \cdot 1.12}{\pi} \cdot \frac{0.8}{40.24} \frac{\text{m}}{\text{MN}} = 2.0\text{mm}/\text{MN}$$

Parametr  $C_q^*$  określamy normalnie na podstawie testów Osterberga. W przedstawionym przykładzie musimy obliczyć go na podstawie znajomości  $C_q$  ze wzorów (13) oraz (24) i (27). Otrzymamy

$$C_q^* = C_q \left( 1 - \frac{C_q^*}{C_t^*} \cdot \frac{H_1}{H_2} \right) \quad \text{a stąd} \quad (33)$$

$$C_q^* = \frac{C_q}{1 + \frac{C_q}{C_t^*} \cdot \frac{H_1}{H_2}} \quad \text{oraz następnie} \quad (34)$$

$$\frac{H_1}{D} \cdot \kappa = \frac{C_q}{C_t^*} \cdot \frac{H_1}{H_2} \quad \text{lub} \quad \frac{H_2}{D} \cdot \kappa = \frac{C_q}{C_t^*} \quad (35)$$

Wielkość parametru  $C_q$  wynika z obliczeń na początku niniejszego rozdziału i wynosi  $C_q = 3.18\text{mm}/\text{MN}$ . Po podstawieniu otrzymamy

$$C_q^* = \frac{3.18}{1 + \frac{3.18}{2.0} \cdot \frac{16}{24}} \left[ \frac{\text{mm}}{\text{MN}} \right] = 1.54\text{mm}/\text{MN}$$



oraz

$$\frac{H_1}{D} \cdot \kappa = \frac{3.18}{2.0} \cdot \frac{16}{24} = 1.06$$

Podział nośności otrzymamy ze wzorów (30). Mamy

$$N_1 = N \frac{1}{1 + 1.06 \frac{16m + 24m}{16m}} = N \cdot 0.27 \quad ; \quad T = N \cdot 0.73$$

Odpowiednio osiadanie obliczone ze wzoru (31) wyniesie

$$S_q = C_q \cdot N_1 = 3.18 \cdot 0.27 N \left[ \frac{\text{mm}}{\text{MN}} \right] = 0.87 \cdot N \cdot \left[ \frac{\text{mm}}{\text{MN}} \right]$$

lub odpowiednio

$$S_q = C_q^* = \frac{1 + \kappa \frac{H_1}{D}}{1 + \kappa \frac{H_1 + H_2}{D}} \cdot N \left[ \frac{\text{mm}}{\text{MN}} \right] = 0.87 \cdot N \left[ \frac{\text{mm}}{\text{MN}} \right]$$

W obu procedurach otrzymamy taki sam wynik. Podobnie ten sam wynik możemy otrzymać bezpośrednio ze wzoru (14), mamy wtedy

$$S = \frac{3.18 \cdot 1.19}{3.18 + 1.19} \cdot N = 0.87 \cdot N$$

## WNIOSKI

1. W pracy przedstawiono teoretyczne podstawy testu Osterberga zastosowane do obliczeń inżynierskich. Statyczny test Osterberga pozwala na uzyskanie podziału na nośność pobocznicy oraz nośność podstawy pała. Testy te mają szczególne zastosowanie do posadowienia na palach budowli wysokich i wszędzie tam gdzie występują pale o dużej nośności rzędu dziesiątek meganewtonów (MN).

2. Analizę przeprowadzono przy wykorzystaniu teorii Boussinesq'a dla ośrodka jednorodnego. W praktyce oznacza to, że uzyskane zależności mogą mieć zastosowanie dla tej części obszaru obciążeń objętych testem statycznym dla której relacja obciążenie-osiadanie ma zależność liniową. Z analizy wynika, że dla tego obszaru opór pobocznicy (naprężenia styczne na pobocznicy pała) są w liniowej zależności do odporu podstawy pała (naprężenia pod stopą). Liniowy obszar zmian obciążenia i osiadania posiada znaczenie praktyczne, bowiem bardzo często siły które obciążają pał (obciążenia dopuszczalne) są wielokrotnie mniejsze od obciążeń granicznych pała i mieszczą się w tym liniowym zakresie.

3. W praktycznych przypadkach komorę ciśnieniową umieszcza się powyżej podstawy pała. Pozwala to na zmniejszenie nacisku na podstawę pała. W ten sposób można uzyskać taki efekt, że osiągnięcie naprężeń granicznych przez pał najpierw następuje na jego pobocznicy.

To pozwala na określenie tych naprężeń. Efektem statycznego testu Osterberga jest uzyskanie zależności (wykresu) siła w komorze – przemieszczenie podstawy oraz poboczniczy pała. Wykresy te pozwalają na zbudowanie zależności obciążenie pała w głowicy - osiadanie. Do interpretacji tych wykresów dla obszaru liniowych zależności można się posłużyć wzorami podanymi w niniejszej pracy.

4. Praktyczne zastosowanie testu Osterberga wskazuje, że w celu uzyskania lepszej dokładności niezbędnym jest uwzględnienie w obliczeniach skrócenia pała spowodowane dużymi siłami osiowymi. Może ono wynosić nawet 10mm. Niezależnie od tego w czasie testu mogą wystąpić przemieszczenia komory ciśnieniowej, które należy uwzględnić. Służą temu czujniki montowane w pału testowym. Monitorują przemieszczenia podstawy dolnej i górnej komory.

5. Podejmując ten problem autorzy mieli na celu również zwrócenie uwagi na fakt, iż nie zawsze należy w projektowaniu przyjmować oddzielnie (dowolnie) naprężenia na poboczniczy i pod stopą pała. Jeżeli dysponujemy testami statycznymi, to możemy ustalić w jakiej liniowej proporcji te wielkości pozostają w stosunku do siebie. Wielkości te rosną w miarę jak rośnie obciążenie pała w głowicy. Zjawisko to determinuje również osiadanie.

## LITERATURA

1. Gwizdała K. , Dyka L.: *Analityczna metoda prognozowania krzywej osiadanie pała pojedynczego*; Inżyniera i Budownictwo nr 12/2001.
2. Glazer Z.: *Mechanika gruntów*. Wydawnictwo Geologiczne, Warszawa 1985.
3. Osterberg J.O.: *Recent Advances in Load testing Driven Piles and Drilled Shafts Using Osterberg Load Cell Method*, American Society of Civil Engineering, Chicago 1994.
4. Schmertmann J., Hayes J.; *The Osterberg Cell and Bored Pile Testing a Symbiosis*, Proceedings at the Third Annual Geotechnical Engineering Conference, Cairo University, Cairo-Egypt 1997.
5. Meyer Z., Kowalów M., *Wykorzystanie testu Osterberga do statycznych obciążeń próbnych pali*, XXIV Konferencja Naukowo-Techniczna „Awary Budowlane” Badania-Diagnostyka-Naprawy-Rekonstrukcje; Szczecin-Międzyzdroje 2009.

Normy:

1. PN-83/B-02482: Fundamenty budowlane. Nośność pali i fundamentów palowych.
2. PN-81/B-03020: Grunty budowlane. Posadowienie bezpośrednie budowli. Obliczenia statyczne i projektowanie.